

جامعة المنوفية  
مركز البحوث الجغرافية  
والكارتوجرافية  
بمدينة السادات

مجلة مركز البحوث الجغرافية  
والكارتوجرافية

العدد السادس

**التغيرات الجيومورفولوجية فى الساحل الشمالى الغربى  
لمصر بين رأس السيادة شرقا و رأس السلوم غربا  
تحليل بيانات مستشعرة عن بعد (١٩٨٧-٢٠٠٢)**

دكتور

رمضان عبد الحميد نوفل

مدرس بقسم الجغرافية

بكلية الآداب - جامعة المنصورة

## مقدمة:

تمثل منطقة الدراسة أقصى امتداد للساحل الشمالي الغربي لمصر و تمتد بين رأس السيادة شرقا ورأس السلوم غربا بطول ٣٨,١ كم في شكل منطقة خليجية محاطة في الجزء الشرقي منها و بطول ٢٤,٥ كم بالسلسلة الجيرية الساحلية والتي تمتد موازية لخط الشاطئ بل أحيانا تمثل خط الشاطئ نفسه، هذه السلسلة الجيرية و التي تمتد منها بعض الرؤوس البحرية الصغيرة في اتجاه البحر تمثل تكوينات البلايوسوسين في المنطقة و تنقسم في داخلها إلى ثلاث سلاسل متوازية يرجح إنها كانت خطوط شواطئ قديمة. (Selim, 1974, pp.27)

أما الجزء الغربي من منطقة الدراسة فيتشكل من تكوينات الميوسين، حيث تكوينات الحجر الرملي الجيري (ميوسين أسفل) تشكل قاعدة الجروف البحرية وتعلوها تكوينات من الحجر الجيري الأبيض (ميوسين أوسط) والتي تشكل هضبة السلوم، هذه الهضبة تمتد منها بعض الرؤوس البحرية مثل رأس القطارة و رأس بيكون نتيجة لتعرضها لالتواءات محدبة أحادية الميل، لذا فرأس السلوم يأخذ الشكل القبابي المخدب و الذي يميل عكس انحدار الهضبة (El-Gamal, 1968, pp.81) وأكد (شط، ٢٠٠١، ص ٥٣) أن هناك ميل في الطبقات المكونة لرأس السلوم باتجاه شمالي شرقي - جنوبي غربي.

أما السهل الساحلي فتشكله تكوينات الهولوسين وهو يزيد اتساعا بالاتجاه شرقا ليعد الهضبة الميوسينية عن البحر، وتشكل السهل الساحلي العديد من الظواهر الجيومورفولوجية منها اللجانوات والسيخات الساحلية، الكثبان الرملية والنيك.

ويظهر شكل رقم (١) أهم الملامح الجيومورفولوجية في منطقة الدراسة والتي يمكن إيجازها فيما يلي:-

١- ثلاثة من السلاسل الجيرية البيضاء تمتد موازية للبحر يتراوح متوسط ارتفاعها بين ٢٠١٥ و ٢٠م ولا يتعدى أقصى ارتفاع لبعض قممها ٣٥م، هذا ويعتقد أنها كانت خطوط شواطئ قديمة نتجت عن تغير مستوى سطح البحر في البلايوسوسين.



شكل رقم (١) الوجدات الجيومورفولوجية الرئيسية في منطقة الدراسة.

المصدر: من عمل الباحث الكنزا على المرئية الفضائية لعام ٢٠٠٢، الخرائط الجيومورفولوجية والطبوغرافية، بيانات  
و الدراسة الميدانية SRTM 3arcsecond

بعض اللاجونات الصغيرة والتي تقع بين السلاسل الجيرية سابقة الذكر وخاصة بين السلسلة الأولى والثانية.

عدد من السبخات الساحلية والتي تمتد امتداداً طويلاً بين السلاسل الجيرية ولها دور مهم في تطور هذه السلاسل حيث تم رصد لزيادة في مساحة هذه السبخات أحيانا على حساب الهوامش الدنيا من السلاسل الجيرية.

مساحات محدودة تشغلها الكثبان الرملية والتي تظهر في شكل ظلال رميلية للسلسلة الجيرية الأولى.

تنتشر النباك على الشاطئ الرملى الضيق كما تنتشر أيضا على السهل الساحلى وبصفة خاصة في المناطق السبخية الرطبة والتي تنتشر بها النباتات، ونظرا لرتوية التربة فالنباك في الغالب من النوع المتدهور أو الميت.

الهضبة الميوسينية ويبلغ أقصى ارتفاع لها ٢١٠م تقريبا وينحدر منها شبكة من الأودية الجافة يصب بعضها إلى البحر كما في أودية الجزء الغربي من منطقة الدراسة حيث تطل الهضبة مباشرة على البحر، وبعض هذه الأودية تنتهى في مناطق السبخات الساحلية و يلعب دورا في تطورها.

هذا و تهدف الدراسة إلى رصد التغير في بعض الوحدات الجيومورفولوجية في فترة زمنية محدودة من خلال جيلين من المرئيات الفضائية (١٩٨٧-٢٠٠٢) مع الوضع في الاعتبار أن هناك بعض الوحدات سوف يكون من الصعب تتبع التغير فيها من خلال المرئيات الفضائية المستخدمة في هذه الدراسة لأسباب سوف يتم ذكرها. مع كل وحدة عند دراستها.

## طريقة الدراسة:

اعتمد الباحث في هذه الدراسة على تحليل المرئيات الفضائية واستخلاص أقصى ما يمكن من نتائج ليتمكن من تتبع التغير change detection في الوحدات الجيومورفولوجية المختلفة، وتم ذلك من خلال مقارنة بيانات مستشعرة من بعد في فترتين يفصل بينهما فترة زمنية تبلغ (١٥ سنة) حيث المرئية الأولى بتاريخ ١٩٨٧ من نوع landsat TM والمرئية الثانية بتاريخ ٢٠٠٢ من نوع landsat ETM.

وقد استخدم الباحث برنامج ENVI 4.3 لمعالجة المرئيات الفضائية واستخلاص النتائج منها، ويعد هذا البرنامج ENVI 4.3 من أفضل البرامج

المستخدمة في هذا المجال ويمكن تلخيص الخطوات التي أتبعته في الدراسة في الآتي:-

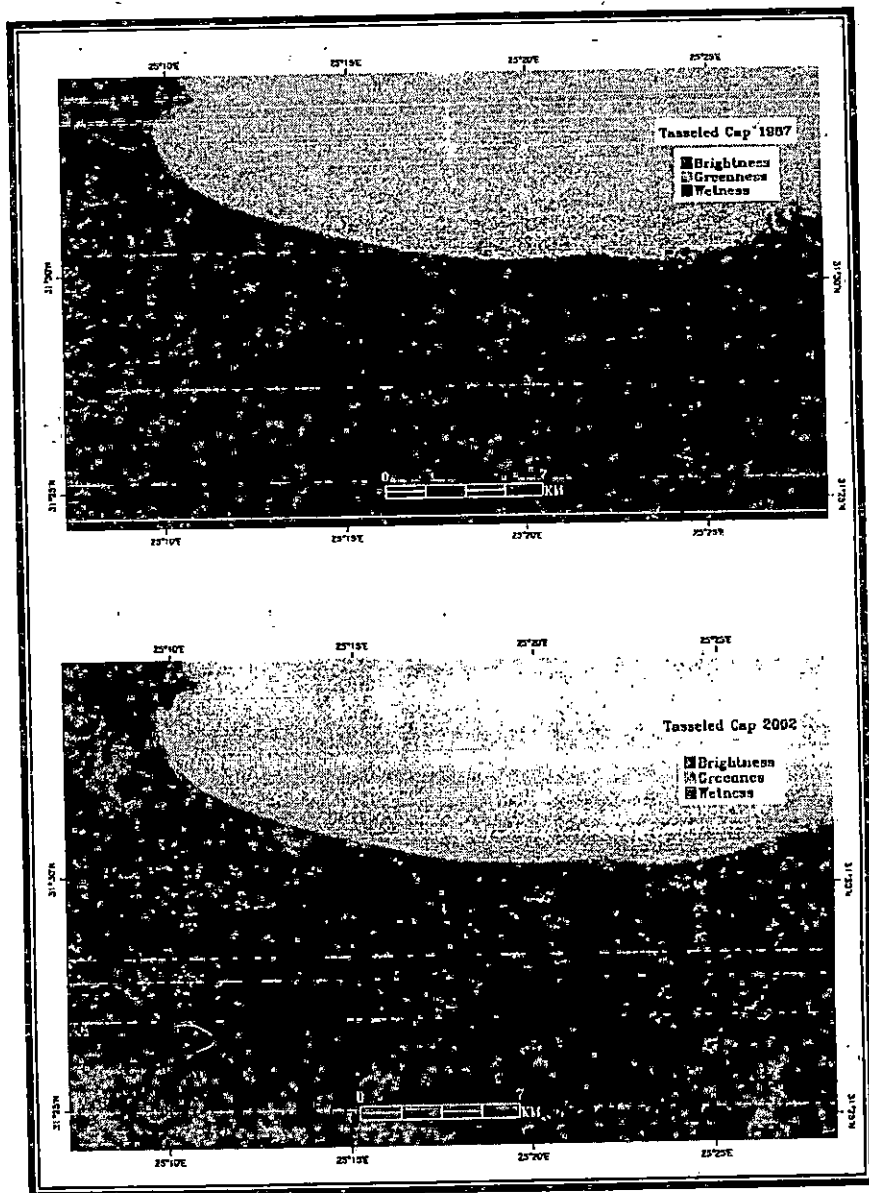
١- تم عمل معايرة Calibration لكل مرئية كي لا تظهر تأثيرات الأحوال الجوية أو ميقات النقاط الصورة على القيم الرقمية digital number بكل خلية، حيث تحول convert القيم الرقمية إلى إشعاع radiance وبهذا تكون عملية المقارنة بين جيلين من المرئيات قد أخذت المسار الصحيح.

٢- ثم عمل عمليات تحسين enhancement بهدف الحصول على أفضل توضيح أو رؤية لمكونات الصورة.

٣- تم عمل ربط link بين المرئيتان واخضاعهما لمقارنة بصرية بهدف تحديد المناطق والظواهر التي يحدث فيها تغير لتكون جديدة بالدراسة، وحسب ما أشار إليه (Quinn, 2001,p.6) فإن الدمج بين المجالات الطيفية Bands (R.G.B) 3,2,1 يظهر التكوينات الرسوبية في وسط مائي والدمج بين المجالات الطيفية (NIR,MIR,B) 4,5,1 يظهر مناطق تركيز وانتشار النبات.

٤- عمل تصنيف غير موجه unsupervised classification للمرئيات بهدف التعرف على الوحدات الرئيسية في منطقة الدراسة، حيث تم تصنيف كل مرئية إلى ٣٠ وحدة أو مجموعة classes تم دمج merge المتشابه منهم بعد التعرف عليه من خلال الخرائط الطبوغرافية و الجيولوجية و انتهى التصنيف إلى ٦ وحدات رئيسية.

٥- بناء على المعلومات المتوفرة من التصنيف غير الموجه و الخرائط المختلفة وكذلك رصد منطقة الدراسة من خلال ما توفره الصور عالية الجودة المستخدمة بواسطة ال google earth و بيانات SRTM 3arcsecond ، هذا بالإضافة إلى النقاط التي تم الحصول عليها أثناء الدراسة الميدانية بواسطة ال GPS تم عمل التصنيف الموجه supervised classification للمرئيات. تم الحصول على تصنيف المساحات الخضراء في منطقة الدراسة من خلال تحليل الغطاء الفسيفسائي tassledcap حيث بتطبيق هذه الخاصية يمكن بدقة تحديد المناطق الرطبة و كذلك المناطق الخضراء، بعد ذلك تم حقن التصنيف الموجه بما تم استخلاصه من تصنيف للمساحات الخضراء في شكل وحدة class خاصة به.



شكل رقم (٢) الغطاء النباتي Tassled Cap لمعد حالة الغطاء النباتي  
والمناطق الرطبة من خلال المرئيات الفضائية لعامي ١٩٨٧ و ٢٠٠٢

gridded bathymetry data (one minute grid) في موضع آخر تم استخدام

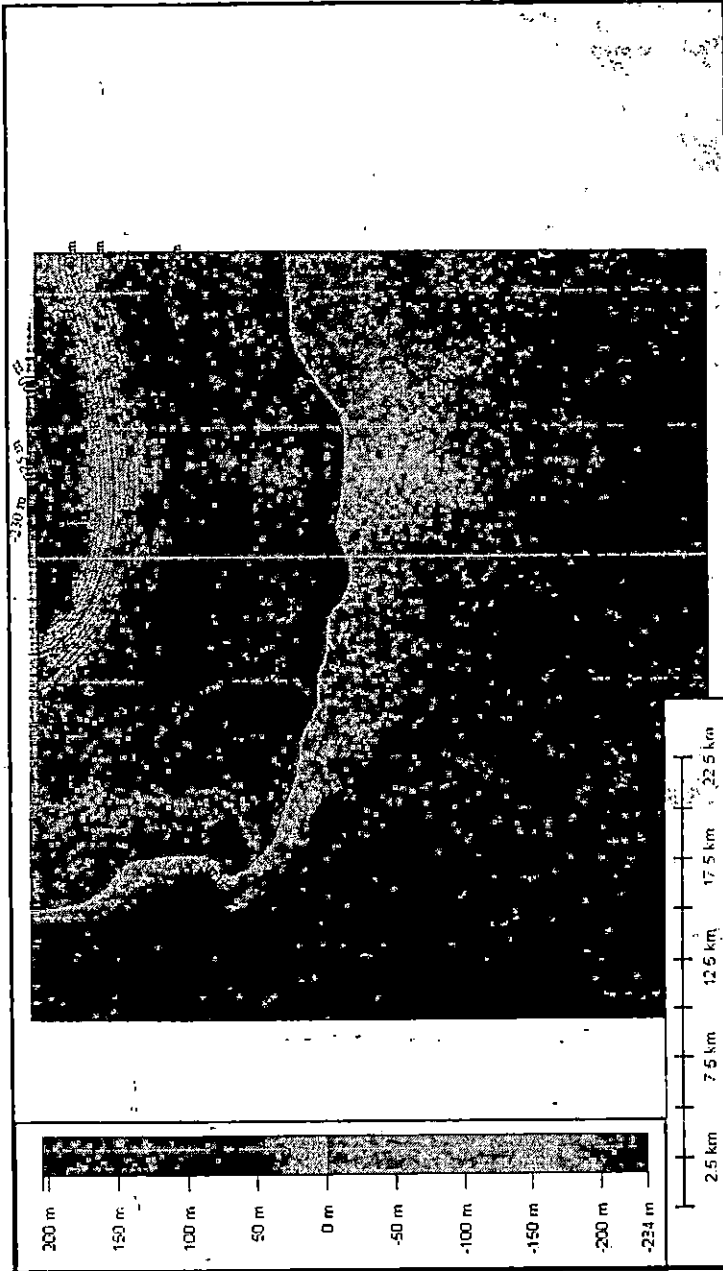
grid) شكل رقم (٣) لعمل نموذج model لتولد الأمواج و خصائصها و ذلك لعدم وجود أي بيانات عنها لمنطقة الدراسة، لذا فقد استخدم الباحث بيانات الرياح للحصول على معلومات عن الأمواج و ذلك باستخدام برنامج arcgis 9.0 وسوف يتم توضيح كيفية عمل النموذج لاحقاً.

وأخيراً تم استخدام بيانات SRTM 3arcsecond في استخلاص شبكات تصريف الأودية الجافة في منطقة الدراسة، وذلك باستخدام خاصية (hydrology) إحدى أدوات خاصية (spatial analyst) في برنامج arcgis 9.0 ، ولابد من الإشارة هنا إلى أنه تم إخضاع بيانات SRTM 3arcsecond إلى المعالجة بواسطة برنامج landserf 2.2 و ذلك للتخلص من أحد أهم عيوبها و الذي يظهر في هيئة فراغات voids بسبب العديد من الأخطاء إذا لم يتم معالجتها شكل رقم (٤).

#### مصادر الدراسة:

اعتمدت الدراسة الحالية على نوعين من البيانات: مكتبية وميدانية:-

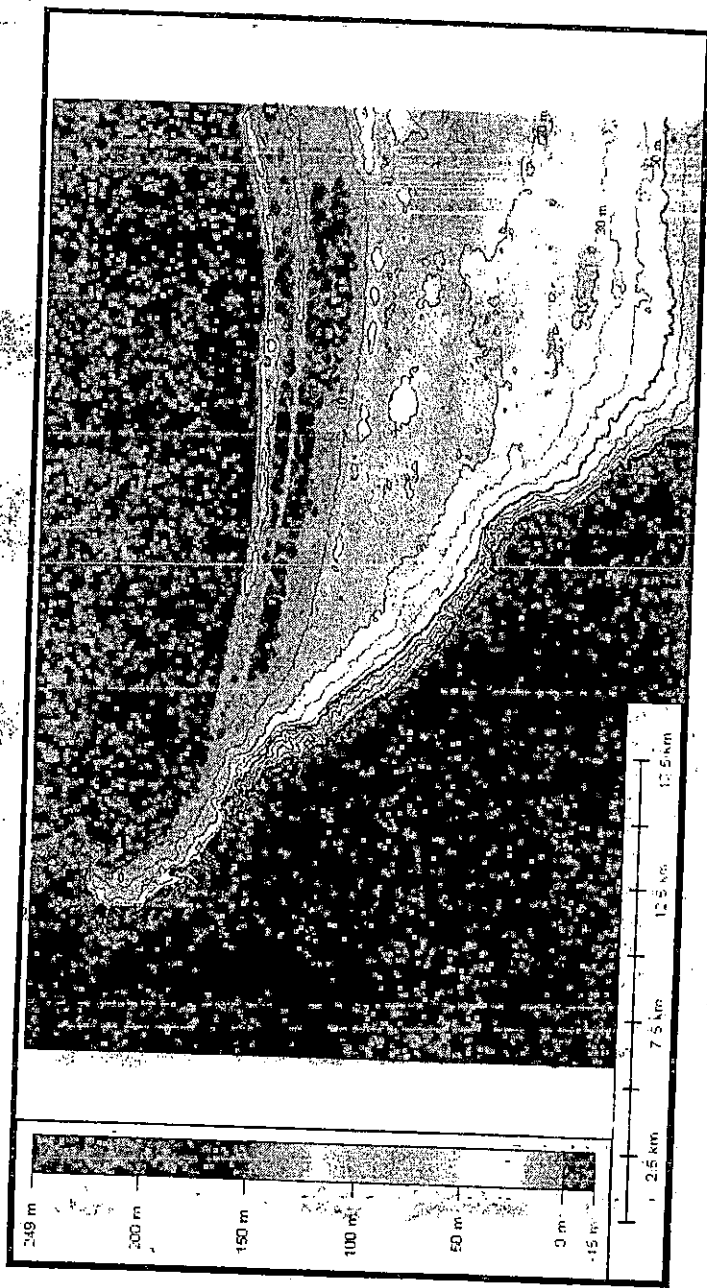
البيانات المكتبية، وشملت الدراسات السابقة، الخرائط و المرئيات الفضائية. الدراسات السابقة: وأهمها دراسة محمود شطا (٢٠٠١) وهي دراسة جيومورفولوجية لمنطقة السلوم نوه أنها باستخدام تقنيات الاستشعار من بعد و نظم المعلومات الجغرافية ولكن عابها الكثير من القصور في هذا الاتجاه، (١٩٦٨) El-Gamel، (١٩٦٩) El-Gamel et al، (١٩٦٩) Selim وهذه الدراسات ركزت على الجانب الجيولوجي للمنطقة، هذا بالإضافة إلى الكثير من الدراسات في أماكن متفرقة من العالم أو من مصر التي اهتمت بدراسة التغير عن طريق بيانات مستشعرة من بعد و أهم هذه الدراسات دراسة عزب ٢٠٠٤ و ناقشت التغير في بعض الظواهرات للساحل الشمالي لسيناء، El-Gamily (2003) وناقش التغير في منطقة الجونة على البحر الأحمر، Alaa Masoud and Koike وهي منشورة بدون تاريخ عبر الانترنت و ناقشت التغير لمناطق السبخات في إقليم سيوة، وغيرها العديد من الدراسات التي استفاد منها الباحث في مجال الدراسة مثل (Shair.M & Nasr.H (1999) ، (Singh (1989), Kumar et al (1993) , Picchiotti et al (1997)



شكل رقم (٢) خطوط الأعماق المساريحة يتأصل من تقاطع خطوط الشبكة من بيانات (one minute grid) gridded bathymetry data

و باستخدام برنامج 7.0 Global Mapper





شكل رقم (٤) الخريطة التضاريسية لمنطقة الدراسة مستمدة من بيانات

بعد معالجتها SRTM 3arcsec

الخرائط والمرئيات الفضائية: فقد اعتمدت الدراسة على الخرائط الطبوغرافية لسنة ١٩٩٦ بمقياس ١:٥٠٠٠٠٠ والصادرة من إدارة المساحة العسكرية، الخريطة الجيولوجية لمنطقة السلوم بمقياس ١:٥٠٠٠٠٠٠ والصادرة من الهيئة المصرية العامة للبتروك (كونوكو- كورال) لسنة ١٩٨٦، هذا بالإضافة إلى المرئيتين الفضائيتين لعامي ١٩٨٧، ٢٠٠٢ واللتين استخدمتا في رصد التغير، الأولى (١٩٨٧) من نوع landsat 5 TM بمقياس 28.5m X 28.5m pixel بتاريخ ١٩٨٧/٨/٨ والثانية (٢٠٠٢) من نوع landsat 7 ETM بمقياس 28.5m X 28.5m pixel بتاريخ ٢٠٠٢/٦/١٠.

الدراسة الميدانية: وتم خلالها مضاهاة أو التأكد من الظواهر الموجودة على المرئيات الفضائية و الواقع الفعلي في منطقة الدراسة وكذلك الحصول على إحدائيات العديد من النقاط التي تمثل الظواهر الجيومورفولوجية المختلفة بواسطة ال GPS لتكون مصدرا مهما لتحديد الظواهر على المرئيات الفضائية و خاصة عند عمل التصنيف الموجه، كذلك تم رصد العديد من الظواهر الجيومورفولوجية الصغيرة الحجم و تسجيلها عن طريق التصوير الفوتوغرافي لتكون مصدر من المصادر المساعدة في هذه الدراسة حيث هناك العديد من الظواهر من الصعب دراستها عن طريق المرئيات الفضائية نظرا لصغر حجمها من ناحية و ضعف درجة وضوح المرئيات الفضائية المستخدمة من جهة أخرى، فمثلا النباك في كثير من النطاقات لا يتعدى طوله مترين وارتفاعه متر واحد وهذا ما يجعل من الصعب رصده من خلال المرئيات وهناك أيضا بعض الظواهر المرتبطة بتطور خط الشاطئ مثل الكهوف صغيرة الحجم و بعض الجروف البحرية القليلة الارتفاع و ظواهر أخرى سوف يشار إليها لاحقا.

## نتائج الدراسة:

بعد إجراء التناظر البصري للمرئيات الفضائية و الملاحظات التي سجلت أثناء الدراسة الميدانية، وجد الباحث أن هناك العديد من الظواهر الجيومورفولوجية التي يمكن رصد التغير فيها من خلال المرئيات الفضائية والبعض الآخر لا يمكن رصده و كذلك لا يمكن إهماله لذا فقد تمت دراسته بدون رصد للتغير الحادث له.

## أولاً: التغير في منطقة تكسر الأمواج Surf Zone:

تعرف منطقة تكسر الأمواج بأنها المنطقة من المياه الضحلة الممتدة من خط تكسر surf line الأمواج حتى خط الشاطئ، و المقصود هنا بخط تكسر الأمواج، النقاط التي يبدأ على امتدادها تأثير الأمواج على القاع الضحل بمسافة الشاطئ. بالقرب، بهذا يتوقف اتساع منطقة تكسر الأمواج على عمق المياه أمام الشاطئ وانحداره و ما يميزه من ظاهرات و من قبل خصائص الأمواج عند دخولها منطقة المياه الضحلة.

جدول رقم (١) التغير في منطقة تكسر الأمواج في الفترة بين عامي ١٩٨٧/٢٠٠٢

الحالة	٢٠٠٢/١٩٨٧
زيادة/كم <sup>٢</sup>	٠,٢٥٦
عدم تغير/كم <sup>٢</sup>	١١,٩٢٤
نقص/كم <sup>٢</sup>	٢,٥٤٨

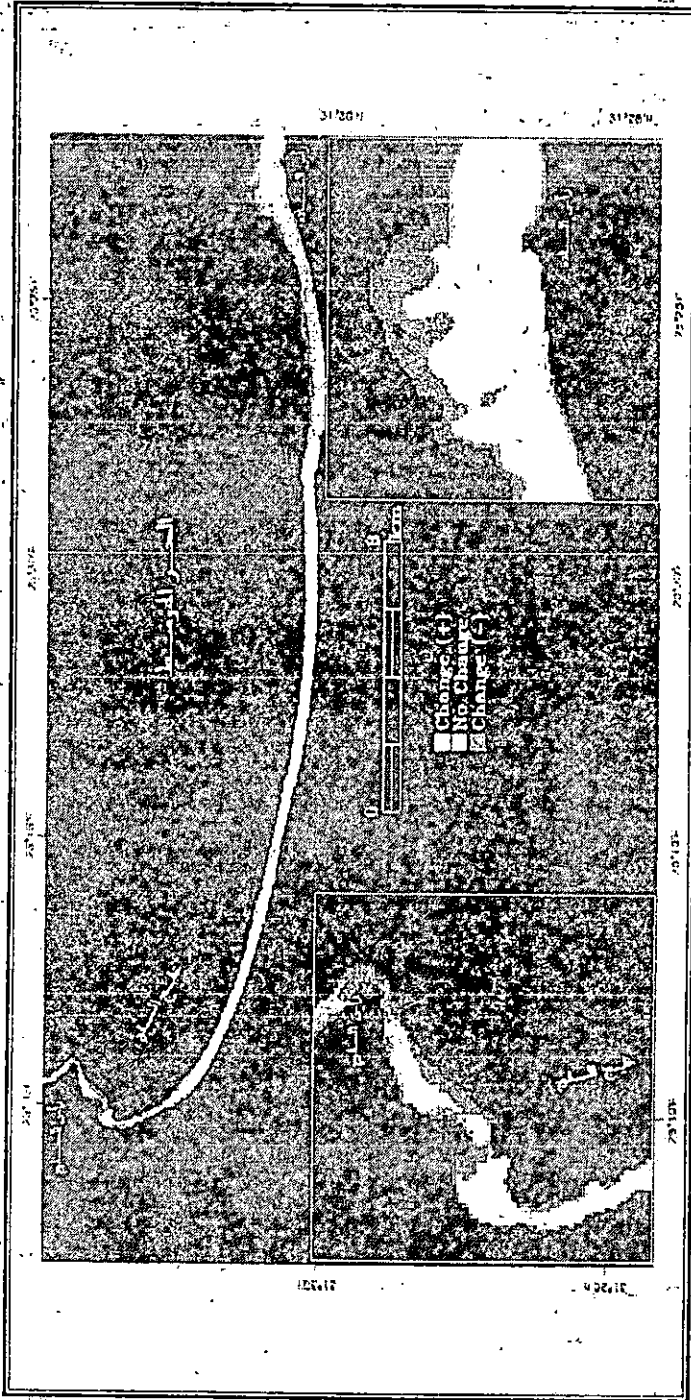
من خلال الجدول رقم (١) والشكل رقم (٥) نتبين الآتي:-

١- تم رصد تغير قدره (٢,٣ كم<sup>٢</sup>) في المساحة الكلية لمنطقة تكسر الأمواج حيث تناقصت من ٤,٥ كم<sup>٢</sup> في عام ١٩٨٧ إلى ١٢,٢ كم<sup>٢</sup> في عام ٢٠٠٢.

٢- رصد تغير بالزيادة بلغ (٠,٢٥٦ كم<sup>٢</sup>) في المناطق التي تسود فيها عمليات إرساب.

٣- رصد تغير بالنقص بلغ (٢,٥٤٨ كم<sup>٢</sup>) في المناطق التي تسود فيها عمليات نحت.

٤- هناك منطقة ثابتة لم يطرأ عليها تغير و قد بلغت ١١,٩ كم<sup>٢</sup> . ولكن يجب الإشارة هنا إلى أن هذا الثبات هو ثبات ظاهري حيث لجأ الباحث و لتسهيل عملية الدراسة إلى دمج أربع وحدات classes في وحدة واحدة class وهو أسلوب متبع في هذا النوع من الدراسات كما في دراسة (Valentina). عند دراسته للتغير على طول خط الساحل لمدينة Volusia بولاية فلوريدا، ويرجع ذلك لعدم معرفة الباحث على وجه الدقة بمدلولات هذه الوحدات الأربع من التكوينات المختلفة التي تشكل منطقة تكسر الأمواج، خلاصة القول انه يمكن توقع تغير بالنقص و الزيادة داخل هذا النطاق الثابت لم يتم رصده.



شكل مرفأ (٥) العذري في منطقة تبكس الأمواج من خلال المديات الفضائية بين عامي ٢٠٠٧/١٩٨٧

▣ يلاحظ من الشكل رقم (٥): أن عمليات التراجع تحدث تقريباً فى معظم قطاعات نطاق تكسر الأمواج ولكنها تتركز بشكل واضح فى منطقتين الأولى حول رأس السيادة و الثانية حول رأس السلوم، أما عمليات التقدم بالإرساب فتحدث بوضوح فى المنطقة الخليجية و محمية برأس بيكون.

▣ يلاحظ بشكل عام أن هناك تراجع فى المناطق الشاطئية للرووس البحرية كما هو الحال فى رؤوس السيادة والقطارة وبيكون والسلوم.

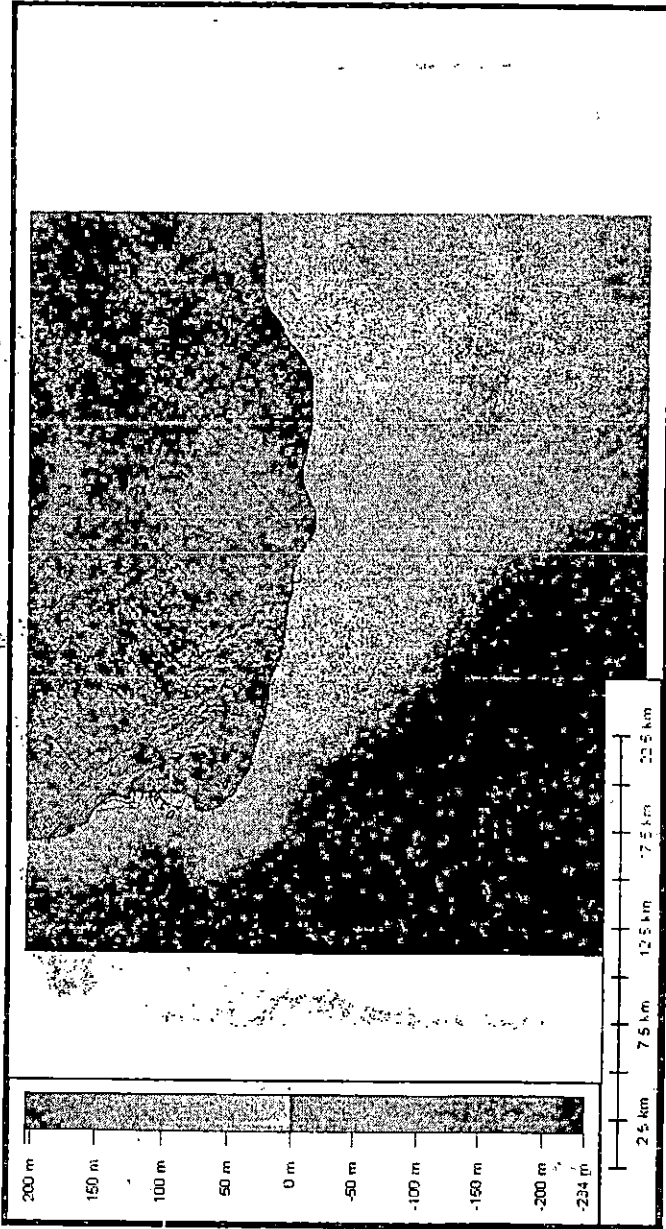
وبعد هذه النتائج التى استخلصت من تحليل المرئيات الفضائية وللتأكد من مدى توافقها مع العمليات المورفولوجية السائدة وخاصة تلك التى لها الأثر الأكبر والمرتبطة بالأمواج فقد تم عمل نموذج model للحصول على بعض خصائص الأمواج نظراً لعدم توفر أى بيانات عنها فى منطقة الدراسة، لذا فقد اعتمد الباحث على بيانات الرياح وخاصة تلك التى تحدث فى فترات العواصف البحرية نظراً لقدرتها على توليد أمواج عالية وهدامة، وقد استمدت هذه البيانات من موقع Nooa وتم اختيار إحدى البيانات المسجلة فى سنة ٢٠٠١ حيث بلغت سرعة الرياح ٤٠ عقدة فى الثانية مع اتجاه ٣٥٠ درجة و لمدة ٥ ساعات. وقد استخدم برنامج arcgis 9.0 مع إحدى الخصائص المضافة إليه تحت مسمى (Uwwave) والتى من خلالها يمكن تحديد المنطقة من القاع fetch التى تؤثر فيها الأمواج اعتماداً على بيانات الأعماق و بيانات الرياح (السرعة و الاتجاه) ومن خلال خريطة تولد الأمواج يمكن استخلاص خريطة لارتفاعات الأمواج واتجاهاتها وتوزيعها على طول الشاطئ على أن نحدد مدة فترة الهبوب وعامل ضغط الرياح wind stress factor الذى يمكن حسابه حسب ما جاء فى The shore protection manual, 1992, pp.3-24 من المعادلة الآتية:-

$$UA=0.589U^{1.23}$$

UA= wind stress factor /mile per hour

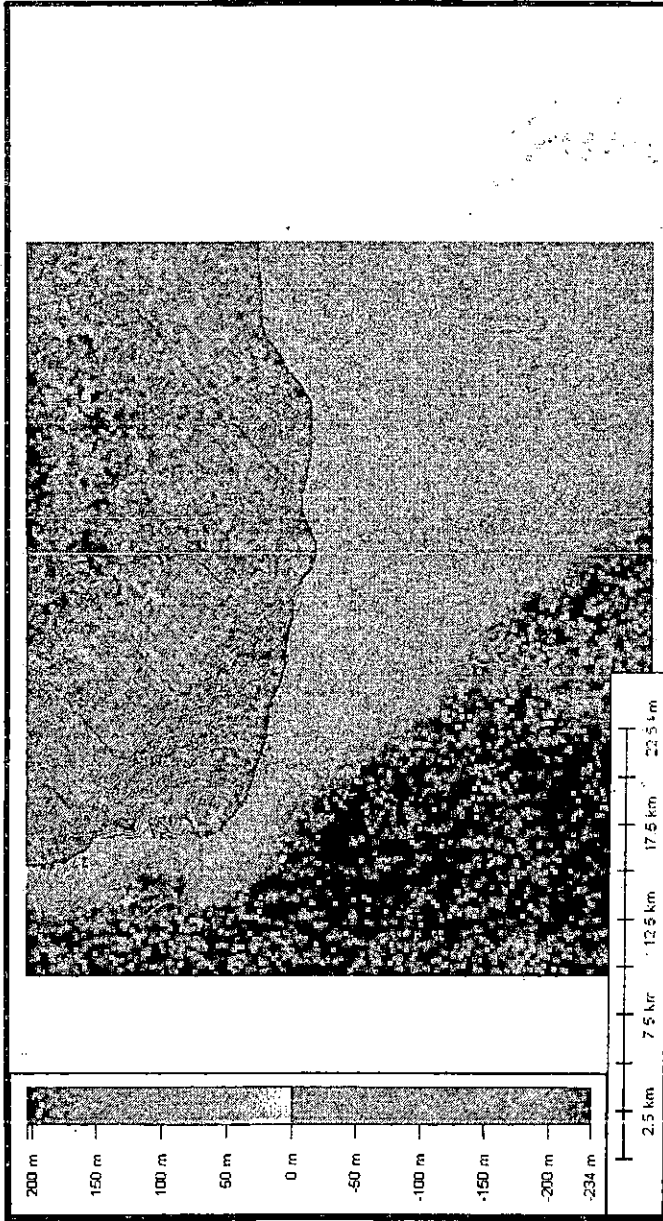
U= wind speed per hour

وكانت النتائج كما جاء فى شكل رقم (٦) والشكل رقم (٧) أن الأمواج تصل أعلى ارتفاع لها (من ٢,٥ م إلى ٢,٨ م) شرق منطقة الدراسة عند رأس السيادة وهى المنطقة ذاتها التى تتعرض لأقصى درجات التراجع، و يقل ارتفاع الأمواج غرباً حتى يصل أدنى مستوى له (٤,٠ م إلى ٩,٠ م) فى المنطقة الخليجية المحمية برأس بيكون وهى نفسها المنطقة التى تسود فيها عمليات الإرساب.



شكل رقم (١٧) ارتفاعات الأمواج فى حالة وجود موج رياح مس عنها ٤٠ عقدة/ثانية. وقد قبتا /

مساحة واتحاد ٢٥٠



شكل رقم (٧) فترة زلزال الأملح في حادثة موج رياح سببها ٤٠ عقدة/ثانية وفترة بقا ٣٥ ساعة على تاج ٣٥

وبهذا يكون هناك توافق بين البيانات المستخلصة من هذا النموذج و نتائج تحليل المرئيات الفضائية، كما يلاحظ من خلال الشكل رقم (٧) أن فترة تردد الموجة ترتفع بالاتجاه شرقاً (٦,٣ ثانية) بينما تضيق هذه الفترة إلى (٢ ثانية) ويزداد تردد الموجة في المنطقة الخليجية الضحلة بجانب رأس السلوم هذا وقد سجل الباحث أثناء الدراسة الميدانية العديد من الظواهر في منطقة الشاطئ الأمامي fore shore والتي تقف كشاهد على تطور ومدى التعيين الذي يحدث في هذا النطاق ولا يمكن رصده من خلال المرئيات الفضائية المستخدمة ويمكن إيجاز هذه الظواهر في الآتي -

☐ ظاهرة العقد الظرائية أو الصوانية flint nodules صورة رقم (١) وهي نتيجة لعمليات التحجير بفعل الأمواج (محسوب، ١٩٩١، ص ١٠٥) في الجروف الجيرية الرملية غرب منطقة الدراسة.

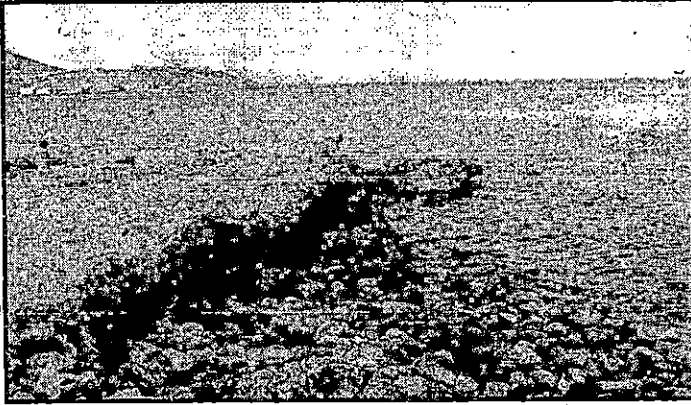
☐ رؤوس أرضية head-land صغيرة الحجم صورة رقم (١) ظلت مقاومة لعمليات التعرية لصلابتها مقارنة بالصخور المجاورة التي استطاعت عمليات التعرية أن تحولها إلى مواضع لتكون الخجان، ويرتبط بهذه الرؤوس غالباً ظاهرة الجسور Bridge كمرحلة من مراحل تطورها.

☐ الجروف البحرية Cliffs والتي تميز الجزء الغربي من منطقة الدراسة، وهي قليلة الارتفاع حيث لا يتعدى ارتفاعها ثلاثة أمتار تقريباً، وتشكل بواجهاتها ذات الانحدار الشديد العديد من الكهوف البحرية Sea caves وكما يظهر عند حضيضها بقايا الكتل الصخرية الناتجة عن عملية الانهيارات الصخرية Rock collapse بفعل عمليات التفويض السفلي Under-cutting الذي تمارسه الأمواج صورة رقم (٢).

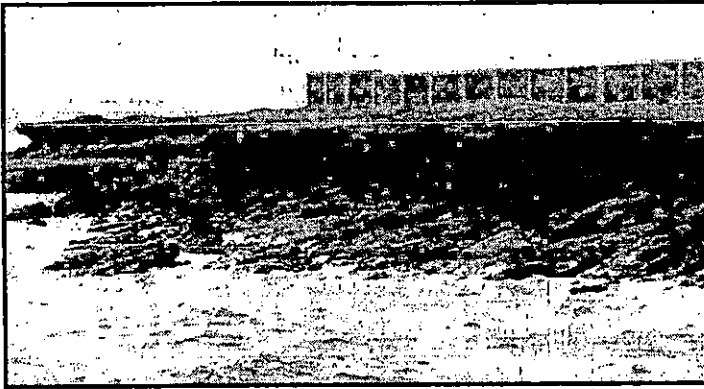
☐ حفر الإذابة solution holes وتنتشر في الجزء الشرقي من منطقة الدراسة حيث صخور الحجر الجيري، وما تم رصده منها قطرة لا يتجاوز ٤٠ سم مع عمقه لا يتجاوز ٣٠ سم صورة رقم (٣).

☐ النباك Nebkas و ينتشر في الجزء الشرقي من منطقة الدراسة وخاصة المناطق ذات الشواطئ الرملية، وهي من النوع صغير الحجم حيث لا تتعدى أطوال المرصود منها ٢م مع ارتفاع لا يتجاوز المتر الواحد كأقصى ارتفاع، ويرجع صغر حجم النباك هنا لغمر مياه البحر لهذه الشواطئ الضيقة خلال فترات المد ومع تراجعها في فترات الجزر يتخلف وراءها مسطح تكسوه قشرة متماسكة تكثر فيها الرواسب الملحية وبالتالي يفقد النباك المصدر الذي يغذيه بالرمال وهذا ما يحد من نموه صورة رقم (٤).





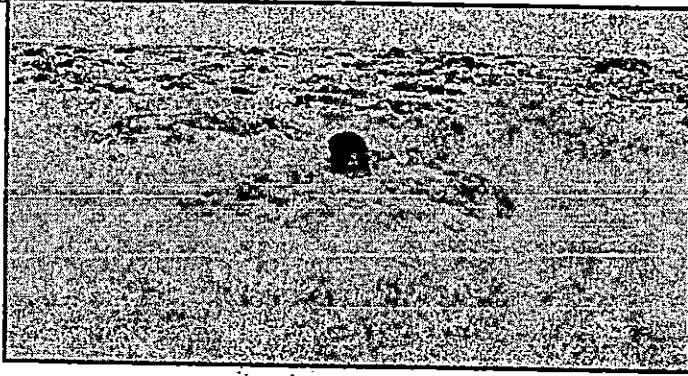
صورة مرقم (١) رأس غردية صغيرة بجوارها عقد صوانية



صورة مرقم (٢) جرف غردية يظهر عند حضيضها الكتل المنساقطة  
و بعض الكهوف على واجهاتها



صورة مرقم (٣) حفن فالجثة عن عملية الإذابة يُغطى قاعها قشرة ملحية بعد تبخر المياه عنها



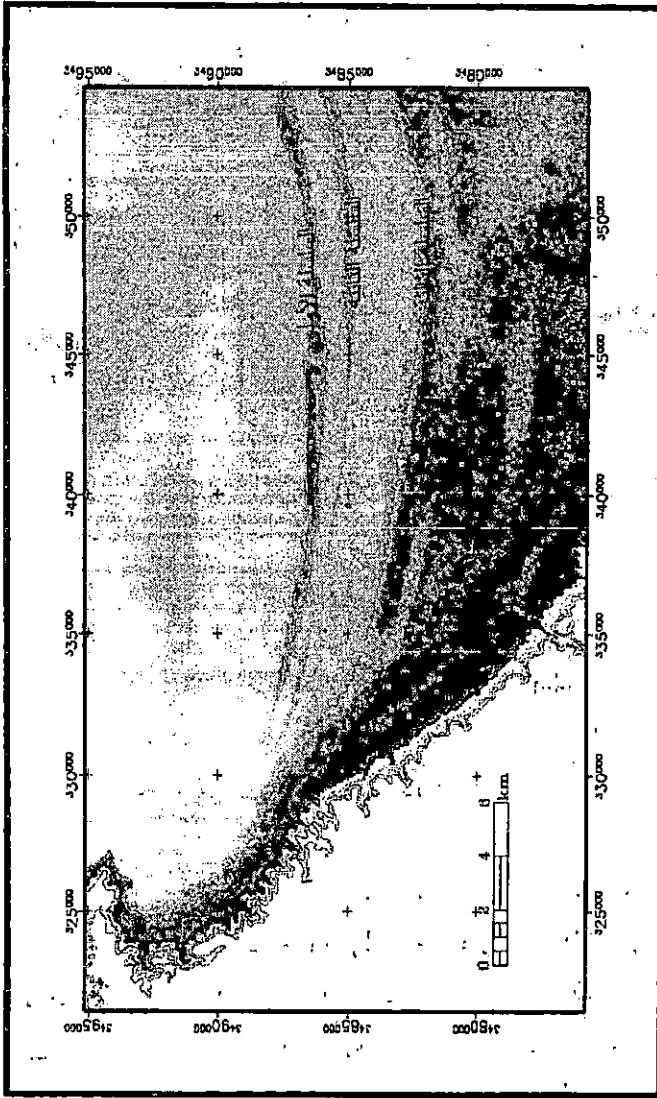
صورة رقم (٤) مسطح المد يغطي أجزاء منه ظاهرة البياك

### ثانياً: التخبير في منطقة الشاطئ الخلفي Back shore:

يظهر تأثير عامل التضاريس بصورة واضحة على ظاهرات الشاطئ الخلفي والمميزة للساحل، حيث هناك تباين واضح أفرزه وجود السلاسل الجيرية والهضبة الميوسينية من جهة، والسهول المستوية والأراضي المنخفضة من جهة أخرى.

يوضح الشكل رقم (٨) هذا التباين الواضح والذي يتمثل في السلاسل الجيرية الساحلية المكونة من ثلاثة سلاسل متوازية مع بعضها البعض ويرتبط بكل واحدة منها منخفض طولي مواز لها، وبعد نهاية المنخفض الثالث يبدأ السهل الساحلي بالارتفاع التدريجي حتى أقدام الهضبة الميوسينية والتي بدورها تزداد في الارتفاع حتى قمتها شبه المستوية.

ونظراً لأهمية السلال الجيرية و ما يرتبط بها من منخفضات و ما لها من أثر كبير في نشأه أهم الظاهرات الجيومورفولوجية وأكثرها إنتشاراً في منطقة الدراسة؛ السبخات الطينية؛ فقد قام الباحث بعمل العديد من القطاعات التضاريسية من خلال بيانات SRTM 3arcsecond و بمساعدة برنامج global mapper ، وكان الهدف من عمل هذه القطاعات من جهة هو توضيح الصورة التضاريسية سواء للسلاسل أو لمنخفضات هذه السلاسل و من جهة أخرى معرفة مدى الارتباط بين وجودها وتوضع السبخات الطينية و خاصة في منخفضي السلسلة الأولى والثانية، فمن خلال الشكل رقم (٩) يمكن ملاحظة الآتي:



شكل رقم (٨) السلاسل الجيومورفية خلال بيانات  
SRTM 3arcsecond

☐ تمتد السلسلة الأولى لمسافة ٢٣ كم تقريباً في منطقة الدراسة، ويتجاوز ارتفاع قممها ٣٠ م وذلك إلى الغرب من رأس السيادة، ولكن بعد ستة كيلومترات منها يحدث انخفاض مفاجئ في منسوبها حيث يقل ارتفاعها عن ٣ م في أعلى أجزائها في هذه المنطقة.

☐ هناك بعض القمم المرتفعة في الأجزاء الشرقية و الوسطى يتراوح ارتفاعها ما بين ٢٠ م و ٢٥ م، و من وسط السلسلة يبدأ الهبوط في المنسوب و يقل الارتفاع بالاتجاه غرباً وحتى نهاية السلسلة.

☐ السلسلة الثانية ويتجاوز طولها في منطقة الدراسة ٢٣ كم، و يصل ارتفاع بعض قممها ٢٥ م وذلك في الجزء الشرقي منها، أما النصف الغربي منها فهو قليل الارتفاع حيث يقل في معظمه عن ١٠ م.

☐ تنفصل أجزاء من السلسلة عن بعض خاصة في الجزء الغربي.

☐ السلسلة الثالثة و يتجاوز طولها في منطقة الدراسة حوالي ٢٠ كم، ويلاحظ أن هناك انفصال في بعض أجزائها سواء في النصف الشرقي أو الغربي.

☐ يتجاوز ارتفاع بعض قممها ٣٠ م خاصة في الجزء الشرقي منها، ويبلغ متوسط الارتفاع بوجه عام ٢٠ متراً، و بهذا تكون هذه السلسلة هي الأكثر ارتفاعاً بين السلسل الثلاث.

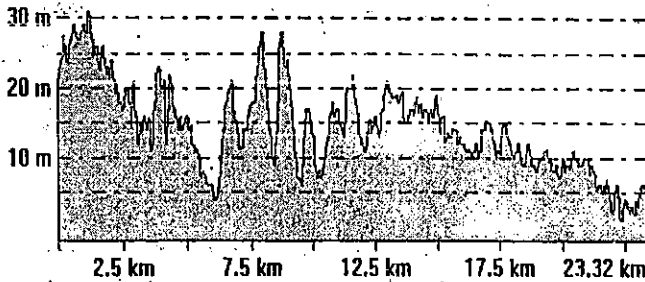
على الجانب الآخر ومن خلال الشكل رقم (١٠) يمكن تتبع أهم مميزات منخفضات السلسل الثلاثة ويمكن إيجازها في الآتي:-

☐ منخفض السلسلة الأولى- يرتفع منسوب مستوى سطح الأجزاء الغربية منه على الصفر، في حين ينخفض منسوب السطح في الأجزاء الوسطى إلى أقل من ٢ متر تحت مستوى سطح البحر لذا تنتشر عليه الالاجونات و السبخات الطينية.

☐ منخفض السلسلة الثانية - معظم منسوب السطح فيه أقل من الصفر و يصل في بعض الأجزاء إلى أقل من ١٢ متر تحت مستوى سطح البحر و نظراً للانخفاض الواضح في منسوب السطح فإن معظم أجزاء هذا المنخفض تشكلها السبخات الطينية.

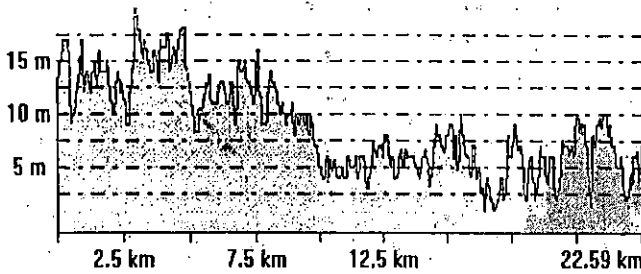
☐ منخفض السلسلة الثالثة- لا يقل منسوب السطح في أي من أجزائه عن الصفر، كما أنه يبعد كثيراً عن تأثير مياه البحر، لذا لا تتشكل السبخات الطينية فوق سطحه و إن كان الباحث لا يستبعد حدوثها بعد أي تساقط مطري كثيف، خاصة وأن طبيعة سطح المنخفض تساعد على ذلك.

From Pos: 31° 30' 53.18" N, 25° 13' 17.08" E To Pos: 31° 30' 59.72" N, 25° 13' 17.08" E



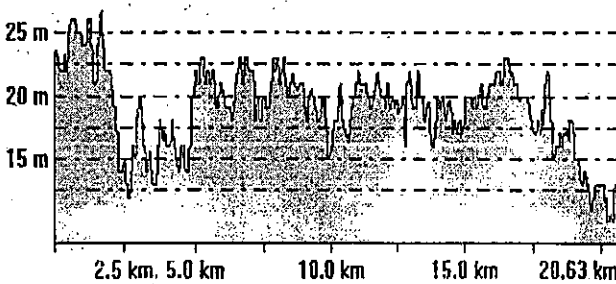
(أ) السلسلة الجيرية الأولى

From Pos: 31° 29' 45.31" N, 25° 13' 43.04" E To Pos: 31° 30' 34.47" N, 25° 13' 43.04" E



(ب) السلسلة الجيرية الثانية

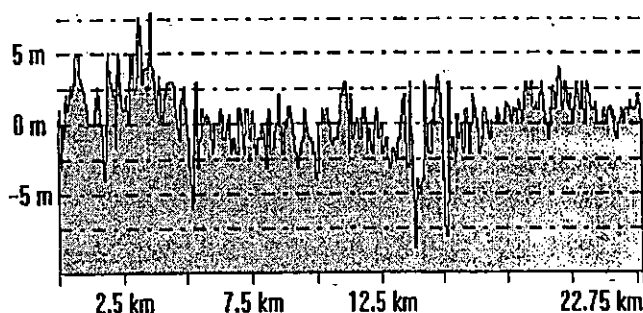
From Pos: 31° 28' 09.62" N, 25° 15' 04.03" E To Pos: 31° 28' 59.89" N, 25° 15' 04.03" E



(ج) السلسلة الجيرية الثالثة

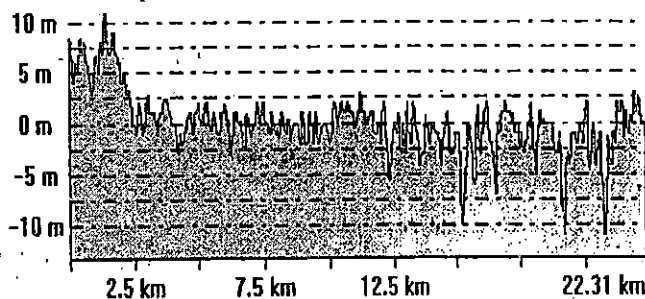
شكل رقم (٩) قطاعات تقصيريسية طولية للسلاسل الجيرية الساحلية

From Pos: 31° 30' 21.00" N, 2 To Pos: 31° 30' 38.98" N, 25° 13' 46.85" E



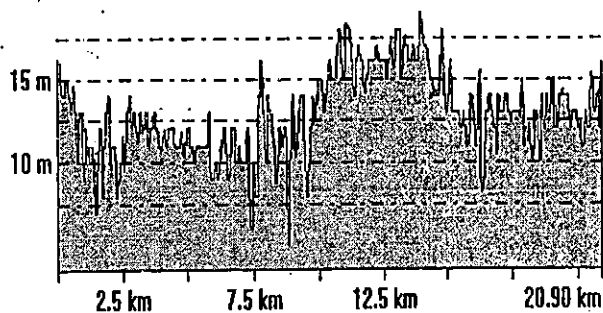
(أ) منخفض السلسلة الجيرية الأولى

From Pos: 31° 29' 20.81" N, 2 To Pos: 31° 30' 13.53" N, 25° 13' 57.72" E



(ب) منخفض السلسلة الجيرية الثانية

From Pos: 31° 27' 42.95" N, 2 To Pos: 31° 28' 39.77" N, 25° 14' 57.91" E



(ج) منخفض السلسلة الجيرية الثالثة

شكل رقم (١٠) قطاعات تضاريسية طولية داخل منخضات السلاسل الجيرية الساحلية

وبعد هذا العرض لخصائص السلاسل الجيرية ومنخفضات هذه السلاسل والتأكد من أن هناك ارتباط بين وجود المنخفضات وانتشار السبخات الطينية كان من الطبيعي أن نبحت عن كيفية وصول مياه البحر؛ وهي المصدر الأول لتغذية السبخات بالمياه؛ إلى هذه المنخفضات.

من خلال الشكل رقم (٤) يمكن ملاحظة أن المنطقة المتاخمة للسلسلة الجيرية الأولى من ناحية الغرب والتي تمتد لمسافة خمسة كيلومترات و يتراوح عرضها ما بين ٣٠٠م إلى ٧٠٠م تقع بين خطي كتور صفر و ٥م، ولما كان ارتفاع الأمواج في حالة العواصف يتجاوز ٢,٨م فيمكن أن نتوقع أن تغطي مياه البحر أجزاء كبيرة من هذه المنطقة، حيث ينساب جزء من هذه المياه في اتجاه المنخفضات ليغذي مناطق السبخات، هذا بالإضافة إلى أنه هناك بعض الأجزاء في السلسلة الجيرية الأولى ينخفض الارتفاع فيها عن ثلاثة أمتار مما يعنى إمكانية عمرها بمياه البحر في حالة العواصف وهذا يفسر وجود بعض اللاجونات الساحلية في حوض هذه السلسلة وعلى تكوينات الحجر الجيري، كذلك يمكن القول أن التقطع الواضح في السلسلة الجيرية الوسطى يسمح بمرور المياه من منخفض السلسلة الأولى إلى منخفض السلسلة الثانية.

وأخيراً لا شك في أن الأمواج أحدثت العديد من التغيرات الجيومورفولوجية بطريقة مباشرة بتأثيرها الكبير على السلسلة الأولى وهذا ما سجله الباحث ميدانياً ونوه عنه سابقاً، أو بطريقة غير مباشرة كما هو دورها في تطور اللاجونات والسبخات الساحلية.

هذا ويميز منطقة الشاطئ الخلفي العديد من الظواهر الجيومورفولوجية التي استطاع الباحث رصد التغير الحادث فيها عن طريق المرئيات الفضائية وبمساعدة المصادر الأخرى المعتمدة في هذه الدراسة والتي سبق التنويه عنها، ويمكن حصر نتائج الدراسة في الآتي:-

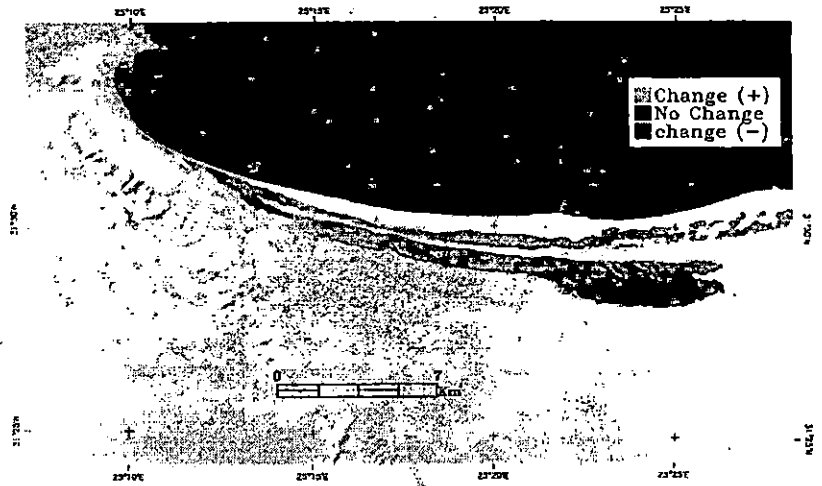
#### **اللاجونات والسبخات الساحلية:**

بلغت مساحة السبخات سنة ٢٠٠٢ (٣١,٧١ كم<sup>٢</sup>) بينما كانت في سنة ١٩٨٧ (٣٠,٣٣ كم<sup>٢</sup>) مما يعنى أن هناك تغير في مساحة قدرها ١,٣٨ كم<sup>٢</sup>، ويوضح الشكل رقم (١١) والجدول رقم (٢) كيفية حدوث هذا التغير، حيث حدث تغير

التغيرات الجيومورفولوجية في الساحل الشمالي الغربي لمصر بين رأس السيدة شرقا ورأس السلوم غربا - د/ رمضان نوفل ٦٤  
 بالزيادة في مساحة السبخات وقدره ٨,١ كم<sup>٢</sup> في حين حدث تغير بالنقص بلغ ٢,٤ كم<sup>٢</sup> بينما تبلغ المساحة من السبخات التي لم تتغير ٢٣,٦ كم<sup>٢</sup>.

جدول رقم (٢) التغير في مساحة السبخات في الفترة بين ١٩٨٧/٢٠٠٢

الحالة	٢٠٠٢/١٩٨٧
زيادة	٤,٤٦
بدون تغير	٢٧,٢٥
نقص	٣,٠٧

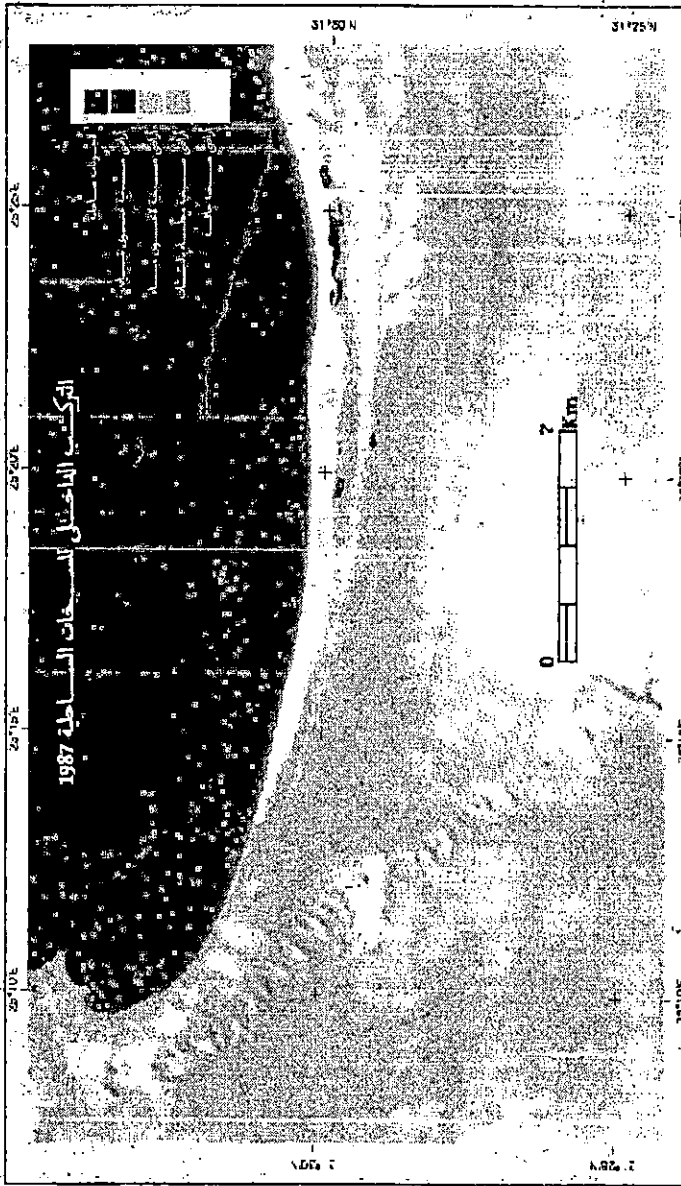


شكل رقم (١١) التغير في اللاحونات في السبخات الساحلية بين عامي ١٩٨٧/٢٠٠٢  
 تعطى دراسة التركيب الداخلي للسبخات، جدول رقم (٣) والشكل رقم (١٢) -  
 (١٣)، صورة دقيقة عن التغير الحادث فيها، حيث قسمت دلتخيا إلى خمسة أقسام  
 حسب تحليل المكونات الرئيسية لكل مرئية فضائية والمعالجات السابق ذكرها،  
 ويمكن إيجاز النتائج في الآتي :-

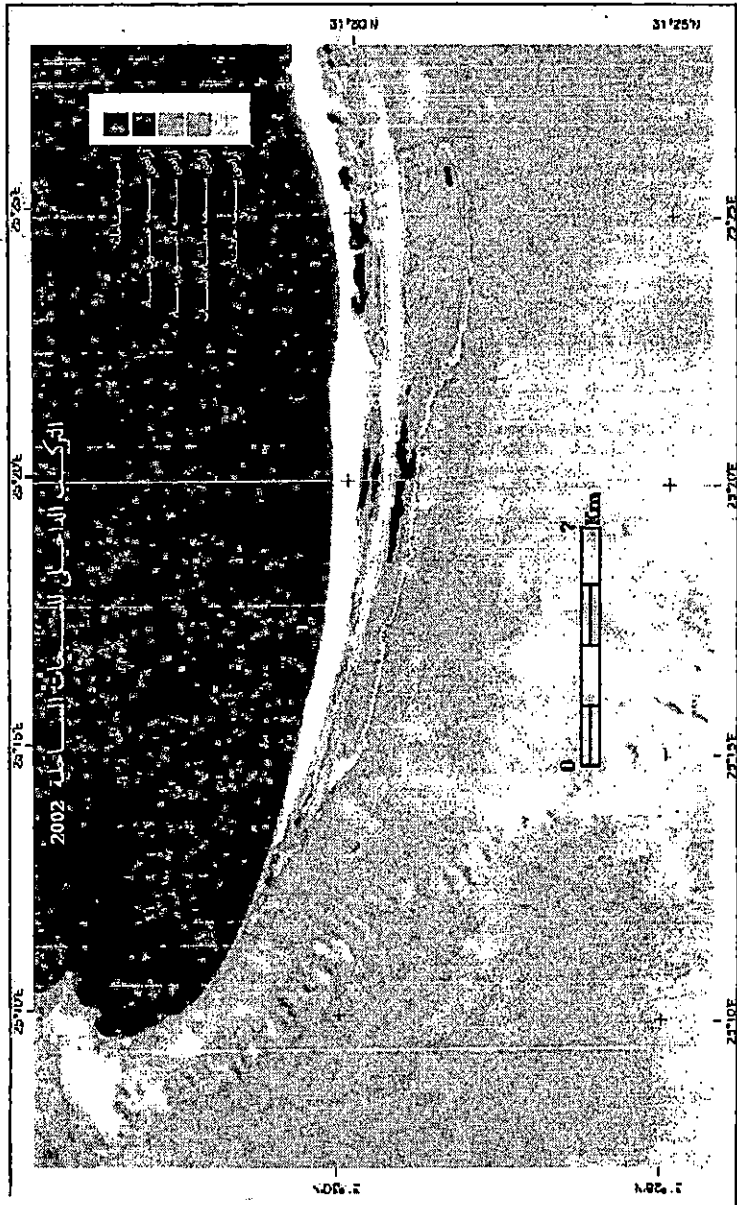
جدول رقم (٣) التغير في الأقسام الداخلية للسبخات بين عامي ١٩٨٧/٢٠٠٢

التغير	٢٠٠٢	١٩٨٧	
٢ كم ٠,٠٤ -	٢ كم ٠,٢٠	٢ كم ٠,٢٤	لاحونات
٢ كم ١,٧٨	٢ كم ٢,٥٨	٢ كم ٠,٨٠	سبخات رطبة تحتوى مياه
٢ كم ٦,٩٦ -	٢ كم ١٤,٣٥	٢ كم ٢١,٣١	سبخات رطبة لا تحتوى مياه
٢ كم ٤,٦٤	٢ كم ٦,٨٠	٢ كم ٢,٣٤	سبخات تحتوى نباتات
٢ كم ١,٨٣	٢ كم ٧,٧٨	٢ كم ٥,٩٥	سبخات جافة





شكل رقم (١٢) التحريك الداخلي للساحل عامي ١٩٨٧



شكل رقم (١٣) التركيب الداخلي للسبخات عامي ٢٠٠٢

لم يحدث تغير ملحوظ في مساحات اللاجونات Lagoons الساحلية حيث هناك تناقص طفيف في مساحتها بلغ (٠,٠٤ كم<sup>٢</sup>).

هناك زيادة في الأجزاء من السبخات التي تحتوى مياه راكدة بلغت (١,٧٨ كم<sup>٢</sup>) هناك تغير بالنقص في مساحة الأجزاء الرطبة والتي لا تحتوى مياه بمقدار (٦,٩٦ كم<sup>٢</sup>).

زيادة في المساحات التي يغطيها النبات بلغت (٤,٦٤ كم<sup>٢</sup>)، وقد لوحظ أثناء الدراسة الميدانية أن هذه النباتات تنتشر على السواحل في مناطق من السبخات التي تحتوى مياه أو مثيلاتها التي لا تحتوى مياه أو الأجزاء الجافة، كما لوحظ أيضا انتشار التناك الميئة؛ نظرا لارتفاع الرطوبة والتكوينات الملحية؛ وبكثافة في المناطق الرطبة التي ينتشر فيها غطاء نباتي.

هناك تزايد في مساحة الهوامش الجافة بلغ (١,٨٣ كم<sup>٢</sup>) وهذا يأتي منطقيا مع الزيادة الملحوظة في مساحة الأجزاء الرطبة.

وأخيرا فقد لاحظ الباحث أثناء تحليل المرئيات الفضائية و عمل تقسيم موجه لها أن هناك تشابه في بعض البصمات الطيفية خاصة التي أخذت من الهوامش السبخية مع البصمات الطيفية للرواسب داخل الأودية المنحدرة من الهضبة الميوسينية، لذا فقام الباحث بمحاولة إيجاد العلاقة بينهما فقام باستخلاص شبكات تصريف الأودية المنحدرة من الهضبة الميوسينية لمعرفة مدى علاقتها بمناطق تواجد السبخات وما إن كانت لها علاقة بتغذيتها سواء بالمياه أو الرواسب.

فمن خلال الشكل رقم (١٤) أن هناك بعض الأودية تستطيع الوصول إلى البحر مباشرة ليكون مصبا لها كما في الأودية المرتبطة برأس السلوم، و أخرى تنتهى إلى مناطق السبخات حيث تقف السلسلة الجيرية عائقا يحول دون وصولها إلى البحر و يظهر تأثير هذه الأودية في الأجزاء الغربية من السبخات لقربها من الهضبة ويقل هذا التأثير بالاتجاه شرقا حيث تبعد الهضبة ويتسع السهل الساحلى، ذا بالإضافة إلى انحدار بعض الأودية صغيرة الحجم من السلسلة الثالثة لتصب مباشرة في مناطق السبخات.



شكل رقم ١٤) شبكات الأودية المتصدرة من هضبة السلوم علاقتها بمناطق السبخات الساحلية

مستخرجة من بيانات 3arcsecond)

## الكثبان الرملية Sand Dunes:

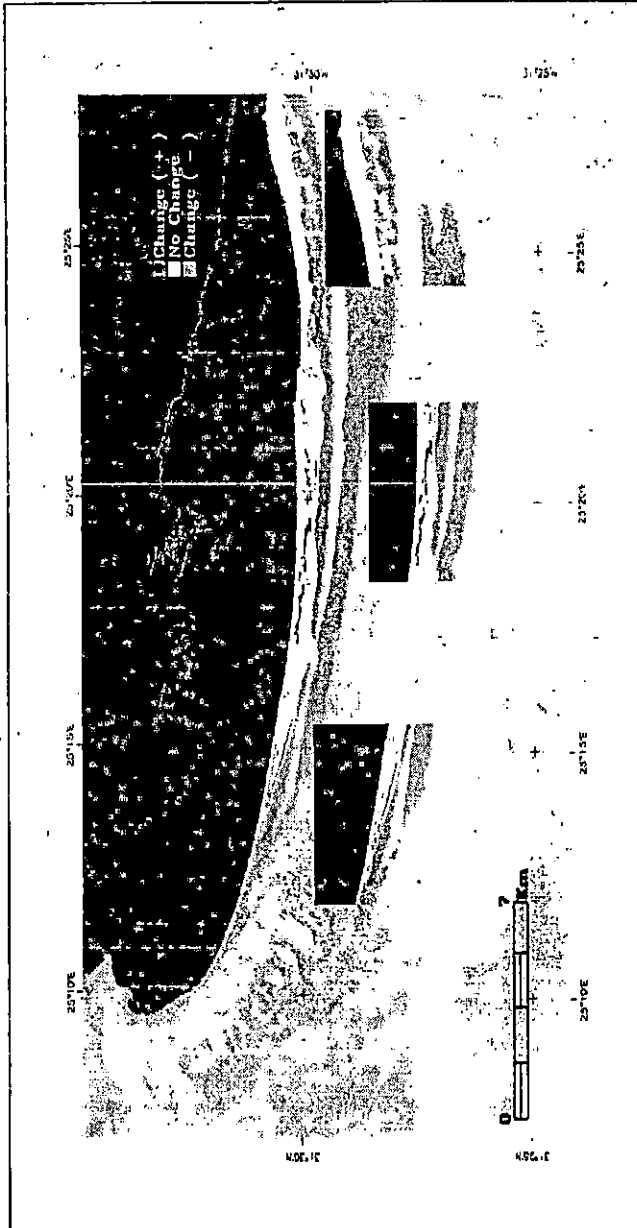
تنتشر بعض التجمعات الرملية في منطقة الدراسة وهي تظهر في شكل ظلال رملية حيث تقع في ظل السلسلة الجيرية الممتدة بمحاذاة الساحل، والتكوينات الرملية لهذه الظلال يغلب عليها اللون الأبيض نظرا لأن مصدرها هو التلال الجيرية البيضاء، وقد كان هناك صعوبة في استخلاص هذه التجمعات الرملية من المرئيات الفضائية نظرا لتشابه تكويناتها مع تكوينات التلال وهذا ما نتج عنه خلط في البصمات الطيفية. لكنهما مع التنويه بأن الباحث كان قد حدد أماكن هذه التجمعات الرملية أثناء الدراسة الميدانية في العديد من النقاط التي أخذت بواسطة جهاز GPS ولكن اتضح أنها لم تكن كافية لتحقيق الغرض منها، لذا فقد استعان الباحث بإمكانات الرؤية العالية الجودة التي يتم توفيرها من خلال Google Earth فتم تحديدها بدقة واستخدامها عند عمل التصنيف الموجة.

جدول رقم (٤) التغير في مساحة الكثبان الرملية بين عامي ١٩٨٧/٢٠٠٢

التغير في المساحة	٢٠٠٢	١٩٨٧
٠,٣	٢كم١,٥٧	٢كم١,٢٧

ومن خلال الشكل رقم (١٥) الجدول رقم (٤) يمكن الخروج بالنتائج الآتية:

- ☐ تنتشر الكثبان على مساحة ١,٢٧ كم<sup>٢</sup> في عام ١٩٨٧ و ١,٥٧ كم<sup>٢</sup> في عام ٢٠٠٢، وهذا يسجل زيادة قدرها ٠,٣ كم<sup>٢</sup>.
- ☐ يلاحظ أن هناك حركة للرمال في اتجاه السبخات وتتماشى هذه الحركة مع اتجاه الرياح السائدة طول العام (شمالية - شمالية غربية).
- ☐ يلاحظ انه في الجزء الشرقي تم اختفاء جزء من هذه التكوينات كان ممثلا على المرئية الفضائية لعام ١٩٨٧ ولكنه لم يعد موجودا على المرئية الفضائية لعام ٢٠٠٢، هذه الجزء تم التأكد من أنه مازال موجودا بواسطة google Earth ولكن مع تغير لونه لتشبعه بمياه السبخات وتأثير الرطوبة عليه وهو السبب الذي جعل من الصعب رصده على المرئيات الفضائية لعام ٢٠٠٢، وهذا يمكن فهمه بالنظر للزيادة التي حدثت في مساحة السبخات في عام ٢٠٠٢
- ☐ هناك حركة واضحة ومتوازية من حيث الشكل للكثبان الرملية في اتجاه السبخات وخاصة على الأجزاء الغربية من التلال الجيرية، ويساعد في هذه الحركة بالإضافة إلى الرياح بخصائصها المختلفة انخفاض التلال الجيرية هنا بشكل ملحوظ مما يجعل تأثير الرياح أعظم في عملية الحركة.



شكل رقم (١٥) التغير في الكثبان الرملية في الفترة من عامي ١٩٨٧/٢٠٠٢.

(نقطة يسار، حركة الكثبان - نقطة وسط، زيادة في نمو الكثبان - نقطة يمين، اثر السبخات على الكثبان)

## الخلاصة Concision :

منطقة الدراسة هي جزء من الساحل الشمالي الغربي وتجمع العديد من مميزاته كالسلاسل الساحلية التي تمثل امتداد لظاهرة جيومورفولوجية تمتد من غرب الإسكندرية وحتى الكيلو ٧ شرق السلوم، الرؤوس البحرية، اللاجونات والسبخات الساحلية، الكثبان الرملية، النباك وغيرها، وقد أجمعت كل الدراسات التي أجريت على الساحل الشمالي الغربي أن هناك ثمة تغيرات جيومورفولوجية تحدث، فمثلا سجل معوض بدوي، ٢٠٠٣، ص ١٥٠ أن هناك تراجع في منطقة رأس الحكمة يصل إلى ٦,٦ م سنويا وهذا يقترب كثيرا مما سجله الباحث من تراجع يحدث في منطقة السلوم حيث وجد أنه في خلال ١٥ سنة حدث تراجع قدرة ٥٨,٥ م<sup>٢</sup> مما يعني أن هناك تراجع سنوي يقترب من ٦ م<sup>٢</sup>، على كل حال العديد من الدراسات التي أجريت على الساحل الشمالي الغربي رصدت هذا التغير مع اختلاف الطرق المستخدمة و دقتها في رصد هذا التغير وخاصة أن هذه الدراسات ركزت على التغير في خط الشاطئ و هذا تحديدا يجعل حدوث الخطأ و ارد بدرجة عالية نظرا لاختلاف المصادر التي اعتمد عليها في تقدير التغير وأسباب أخرى متعلقة بالعوامل البحرية وخاصة المد والجزر لأن خط الشاطئ يتغير تبعا لها.

**خلاصة القول** أن هذه الدراسة رصدت تغيرات كبيرة في منطقة تكسر الأمواج في فترة زمنية محدودة (١٥ سنة) يدل على حدوث تعرية ساحلية واسعة ربما ساعد على ذلك انتشار التكوينات الجيرية على طول ٢٣ كم من منطقة الدراسة وامتدادها في شكل حافة غاطسة وأجزاء منها تظهر في شكل رؤوس بحرية وهذا ما يجعلها عرضة للتأثر بالعوامل البحرية وخاصة الأمواج التي تركز عملها في مناطق الرؤوس، هذا بالإضافة للتغيرات التي تم رصدها لبعض الظواهرات الجيومورفولوجية الأخرى كاللاجونات والسبخات الساحلية والكثبان الرملية.

## المراجع

### أولاً: المراجع العربية:

- ١- محمد صبرى محسوب سليم (١٩٩١) جيومورفولوجية السواحل، دار الثقافة للنشر و التوزيع، القاهرة.
- ٢- محمود السيد محمد شطا (٢٠٠١) جيومورفولوجية منطقة السلوم باستخدام تقنيات الاستشعار عن بعد و نظم المعلومات الجغرافية ، رسالة ماجستير غير منشورة، كلية الآداب، جامعة الإسكندرية.
- ٣- محمد عزب (٢٠٠٤) رصد التغيرات لمنطقة الساحل الشمالي لسيناء باستخدام الاستشعار عن بعد ونظم المعلومات الجغرافية. بحث مقدم لندوة الإنسان والبيئة المنعقدة بقسم الجغرافيا بكلية الآداب -جامعة الإسكندرية. يونيو ٢٠٠٤

### ثانياً: المراجع الأجنبية:

- 1- El-Gamal, M, M (1968) Geology of Salum area. Western Desert. M, Sc, Fac. Sci, Ain Shams Univ.
- 2- El- Gamily, I, H (2003) Assessment of Environmental Deterioration due to Land use / Land Cover Changes Using Multi-Dates Landsat: A Case Study of El-Gona Region, Red Sea, Egypte. Bul.Soc.Geog.Egypte. Vol. 76.
- 3- Kumar.M, Gossens.E& Gossens.R(1993) *Assessment of sand dune change detection in Rajasthan (Thar) desert*. International Journal of Remote Sensing. Vol. 14 No 9
- 4- Picchiotti.A ,Casacchia.R & Salvatori.R (1997) *Multitemporal principal component analysis of spectral and spatial features of the Venice lagoon*.
- 5- Selim, A,A (1974) Origin and Lithification of The Pleistocene Carbonates of The Salum Area, Western Coastal Plain of Egypt, Jour. Sed. Petro., Vol.44
- 6- Shair.M & Nasr.H (1999)*The use of satellite data to detect land-use change in Al-Ain city.UAE.Egypt*.J.Remote sensing & Space sci.Vol.2
- 7- Singh.A (1989) *Digital change detection techniques using remotely-sensed data*. International Journal of Remote Sensing. Vol. 10 No 6
- 8- Valentina S.David, Multi-Temporal Change Detection Analysis of Beach Erosion using Satellite Remote Sensing.
- 9- <http://ams.confex.com/ams/pdfpapers/85346.pdf>



## التغيرات الجيومورفولوجية فى الساحل الشمالى الغربى لمصر بين رأس السيادة شرقاً ورأس السلوم غرباً تحليل بيانات مستشعرة عن بعد (١٩٨٧ - ٢٠٠٢)

د. رمضان عبد الحميد نوفل

تقع منطقة الدراسة فى نهاية الساحل الشمالى الغربى لمصر وهى من المناطق التى تتعرض لمشاكل مرتبطة بالتعرية البحرية بصفة خاصة. وقد وجد الباحث فى تحليل المرئيات الفضائية و نظم العلوآت الجغرافية و سائل مناسبة لمعالجة هذا الموضوع، و قد استخدم الباحث جيلين من المرئيات الفضائية (١٩٨٧/٢٠٠٢) وبيانات SRTM, 3arcsecond و الخرائط الطبوغرافية و الجيولوجية بالإضافة الى الدراسة الميدانية كمصادر تقوم عليها الدراسة. و بعد معالجة المرئيات الفضائية. تم التعرف على الوحدات الجيومورفولوجية فى منطقة الدراسة و تم تحديدها فى كبل مرئية بهدف قياس التغير بين هذه الوحدات. فقد تم قياس التغير الحادث فى منطقة تكسر الأمواج و كذلك التغير الحادث فى مناطق السبخات الساحلية و مناطق الكثبان الرملية، مثل هذه الدراسة تساعد على التعرف على اتجاه التغيرات الجيومورفولوجية وبالتالي توقع اتجاه التغيرات المستقبلية و التى يجب أن ينظر إليها فى حال وضع الخطط التنموية، و خاصة أن نتائج الدراسة تشير إلى نشاط عمليات التعرية البحرية فى منطقة الشاطئ القريب هذا بالإضافة إلى نتائج مرتبطة بزيادة مساحة السبخات الساحلية.

## **Geomorphological change in the western coastal plain of Egypt from Ras El seiadah to Ras El Salum Using Satellite Remote Sensing (1987-2002)**

Study area located at the end of the northern coast of Egypt has been recently subjected to severe Erosion problems. Monitoring and analysis of the recent land cover dynamics integrating remote sensing and GIS could provide base information to document geomorphological change trends and anticipate further degradation where the absence of long-term Erosion records is an obstacle. Two Landsat TM/ETM+ satellite images over a span of 15 years (1987-2002) coupled with a 90-m DEM (SRTM 3arcsecond) and field observations served as the basic source of data. Standard image enhancements, classification, and change detection techniques were applied to determine changes between the available images.

Changes were analyzed and applied to surf zone, lagoons and Sebkhah and sand dunes.

Such analysis enabled characterizing the alteration in geomorphological feature and provided the evidences to locate possible future changes.

Results showed acceleration in the rate of surf zone Erosion, change in the sebkhah structure and movement of the sand dune toward the area of coastal sebkhah.